### ДЕФЕКТНО-ПРИМЕСНАЯ ИНЖЕНЕРИЯ. РАДИАЦИОННЫЕ ЭФФЕКТЫ В ПОЛУПРОВОДНИКАХ

### ФОТОЛЮМИНЕСЦЕНЦИЯ КРЕМНИЯ, ИМПЛАНТИРОВАННОГО ИОНАМИ КРЕМНИЯ И ГЕРМАНИЯ

А. В. Мудрый<sup>1</sup>, В. Д. Живулько<sup>1</sup>, О. М. Бородавченко<sup>1</sup>, Ж. В. Смагина<sup>2</sup>, В. А. Зиновьев<sup>2</sup>, А. В. Двуреченский<sup>2</sup>

<sup>1)</sup> Научно-практический центр НАН Беларуси по материаловедению, ул. П. Бровки, 19, 220072 Минск, Беларусь, e-mail: mudryi@physics.by

<sup>2)</sup> Институт физики полупроводников им. 4 R. Руссиюва СО РАН

<sup>2)</sup> Институт физики полупроводников им. А. В. Ржанова СО РАН, пр. ак. Лаврентьева, 13, 630090 Новосибирск, Россия, e-mail: smagina@isp.nsc.ru

Для исследования природы дефектов в ионно-имплантированном кремнии использована низкотемпературная (4.2 K) фотолюминесценция. Установлено, что отжиг имплантированного кремния при температурах  $\sim 25-600\,^{\circ}\mathrm{C}$  приводит к появлению в спектрах фотолюминесценции различных электронно-колебательных полос с бесфононными линями, которые связаны с ионно-индуцированными точечными дефектами. Широкие полосы фотолюминесценции, обнаруженные на высокотемпературных стадиях отжига  $\sim 600-900\,^{\circ}\mathrm{C}$ , отнесены к излучательной рекомбинации на лислокациях.

*Ключевые слова:* кремний; имплантация; фотолюминесценция; дефекты; дислокации.

## PHOTOLUMINESCENCE OF SILICON IMPLANTED BY SILICON AND GERMANIUM IONS

A. V. Mudryi<sup>1</sup>, V. D. Zhivulko<sup>1</sup>, O. M. Borodavchenko<sup>1</sup>, Zh. V. Smagina<sup>2</sup>, V. A. Zinoviev<sup>2</sup>, A. V. Dvurechenskii<sup>2</sup>

Low-temperature (4.2 K) photoluminescence was employed to investigate the nature of defects in ion-implanted silicon. It was found that annealing of the implanted silicon at temperatures of 25–600 °C leads to the appearance in the photoluminescence spectra of various electron-vibrational bands with zero-phonon lines that are associated with ion-

<sup>&</sup>lt;sup>1)</sup> Scientific and Practical Center of the National Academy of Sciences of Belarus for Materials Science, P. Brovki str, 19, 220072 Minsk, Belarus,

<sup>&</sup>lt;sup>2)</sup> Rzhanov Institute of Semiconductor Physics Siberian Branch of Russian Academy of Sciences, Lavrentiev aven., 13, 630090 Novosibirsk, Russia, Corresponding author: A. V. Mudryi (mudryi@physics.by)

induced point defects. The broad photoluminescence bands observed at high-temperature annealing stages  $\sim 600-900^{\circ}\text{C}$  are attributed to radiative recombination at dislocations.

*Key words*: silicon; implantation; photoluminescence; defects; dislocations.

#### **ВВЕДЕНИЕ**

Как известно, при создании наноструктур Ge/Si с квантовыми точками Ge на монокристаллическом кремнии используются разные технологии, целью которых является достижение однородности по размерам, форме, составу и пространственному упорядочению квантовых точек Ge с контролируемым расстоянием между ними [1-3]. Исследования показали, что наибольшие успехи в создании упорядоченных наноостровков Ge могут быть достигнуты за счет наноструктурирования поверхности кремния с использованием наноимпринт-литографии и ионного облучения, электронно-лучевой литографии, литографии с помощью интерференции ультрафиолетовых лучей, голографии и др. [1, 2]. Установлено, что использование низкоэнергетического ионного воздействия в процессе осаждения наноостровков Ge сопровождается образованием дефектов в квантовых точках Ge и в приповерхностных областях на границе раздела Si и Ge [1, 3]. В связи с этим возникает необходимость детального изучения природы ионно-индуцированных дефектов при создании наноструктур Ge/Si с квантовыми точками Ge для достижения наиболее эффективной излучательной рекомбинации в инфракрасной области спектра ~ 1.5 мкм. В настоящей работе изложены новые данные по сравнительному анализу процессов излучательной рекомбинации в монокристаллическом Si, имплантированном ионами кремния и германия и подвергнутого термическому отжигу в широком интервале температур.

### МАТЕРИАЛЫ И МЕТОДЫ

Исследовался монокристаллический кремний р-типа проводимости, легированный бором и облученный ионами  $\mathrm{Si}^+$  или ионами  $\mathrm{Ge}^+$  с энергией 80 кэВ и дозой  $\sim 10^{15}$  см $^{-2}$ . Изохорный отжиг имплантированных образцов проводился в интервале температур от 25 до  $900\,^{\circ}\mathrm{C}$  и длительности  $\sim 20$  минут в условиях высокого вакуума. Спектры фотолюминесценции регистрировались с помощью дифракционного монохроматора МДР-23У, оснащенного решеткой 600 штр./мм (обратная линейная дисперсия  $26\,\mathrm{Å/mm}$ ). В качестве детектора оптических сигналов использовался InGaAs рі-п фотодиод типа G8370-03 (фирма «Нататава», Япония). Для возбуждения люминесценции использовался диодный лазерный модуль, работающий на длине волны  $\sim 405\,\mathrm{hm}$  с мощностью до  $100\,\mathrm{mBT}$ .

#### РЕЗУЛЬТАТЫ И ОБСУЖДЕНИЕ

На рисунках 1 и 2 приведены спектры фотолюминесценции (ФЛ) монокристаллов кремния, имплантированных ионами Si и Ge, соответственно, с энергией  $\sim$  80 кэВ и дозой  $\sim$   $10^{15}$  см<sup>-2</sup>. Спектры ФЛ снимались на различных стадиях отжига образцов в температурном интервале 25–900 °C.

В спектрах ФЛ исходного, имплантированного и термически обработанного Si в области энергий  $\sim 1.15-1.02$  эВ наблюдаются узкие линии, обусловленные рекомбинацией экситонов, связанных на атомах бора, как основной легирующей примеси. Слабоинтенсивная высокоэнергетическая линия с максимумом  $\sim 1.150$  эВ обусловлена излучательной рекомбинацией свободных экситонов, происходящей без уча-

стия фононов. Линии с максимумами 1.132 эВ и 1.092 эВ обусловлены излучательной рекомбинацией экситонов, связанных на атомах бора, с участием поперечных акустических фононов с энергией  $TA \sim 18$  мэВ и поперечных оптических фононов с энергией  $TO \sim 58$  мэВ. Две линии с максимумами 1.061 эВ и 1.029 эВ обусловлены рекомбинацией связанных экситонов и одновременным участием нескольких фононов [4]. В спектрах ФЛ обоих типов образцов на стадиях термического отжига  $\leq 500^{\circ}$ С наблюдаются электронно-колебательные полосы с головными бесфононными линиями  $A \sim 0.970$  эВ,  $C \sim 0.789$  эВ,  $W \sim 1.019$  эВ,  $X \sim 1.040$  эВ и  $P \sim 0.767$  эВ.

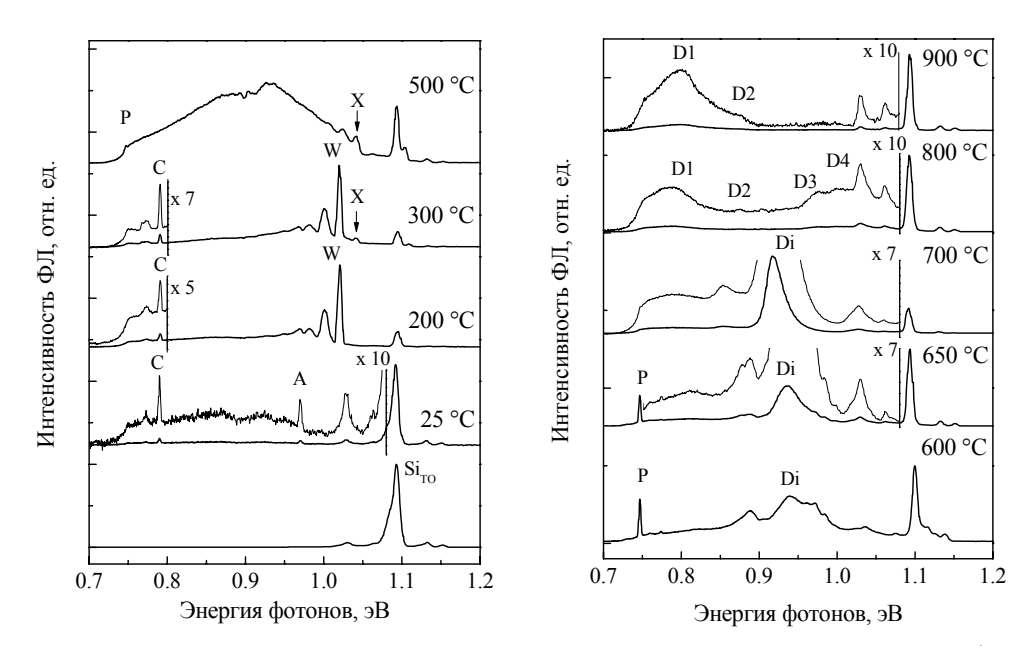


Рисунок 1. – Спектры ФЛ необлученного кремния, облученного при 25 °C ионами  ${\rm Si}^+$  с энергией 80 кэВ и дозой ~  $10^{15}$  см<sup>-2</sup> и отожженного при различных температурах

Как было установлено ранее, бесфононные линии A, C, W, X и P обусловлены излучательной аннигиляцией экситонов, связанных с дефектами структуры точечного типа, которые образовываются при различных типах радиационного воздействия (электроны, гамма-кванты, ионы и др.) [4–6]. Для всех бесфононных линий характерно наличие длинноволнового структурированного крыла, максимумы которого могут быть отнесены к излучению локализованных экситонов с участием в процессах рекомбинации фононов кристаллической решетки, в частности ТА, ТО и др., а также локальных и (или) квазилокализованных фононов в зависимости от химического состава и особенностей локальных колебаний соответствующих центров излучательной рекомбинации.

Ранее было установлено, что в состав ионно-индуцированных дефектов A, C и P входят атомы кислорода и (или) углерода, как остаточные технологические примеси в Si, а в состав центров W — междоузельные атомы Si [4] или междоузельные атомы Si и атомы водорода [7]. В состав дефектов, ответственных за появление полосы X, входят вакансии [4, 6]. На высокотемпературных стадиях отжига имплантированного Si  $\sim 600$ — $900\,^{\circ}$ C проявляется широкая полоса Di с максимумом  $\sim 0.93\,^{\circ}$ B. Максимум

этой полосы смещается в область низких энергий до  $\sim 0.92$  эВ с повышением температуры отжига. Близкая по энергетическому положению к этому значению полоса  $\Phi$ Л наблюдалась ранее и была отнесена к излучательной рекомбинации неравновесных носителей заряда на дислокационных петлях  $\Phi$ ранка, локализованных вблизи границ поликристаллических зерен кремния [8].

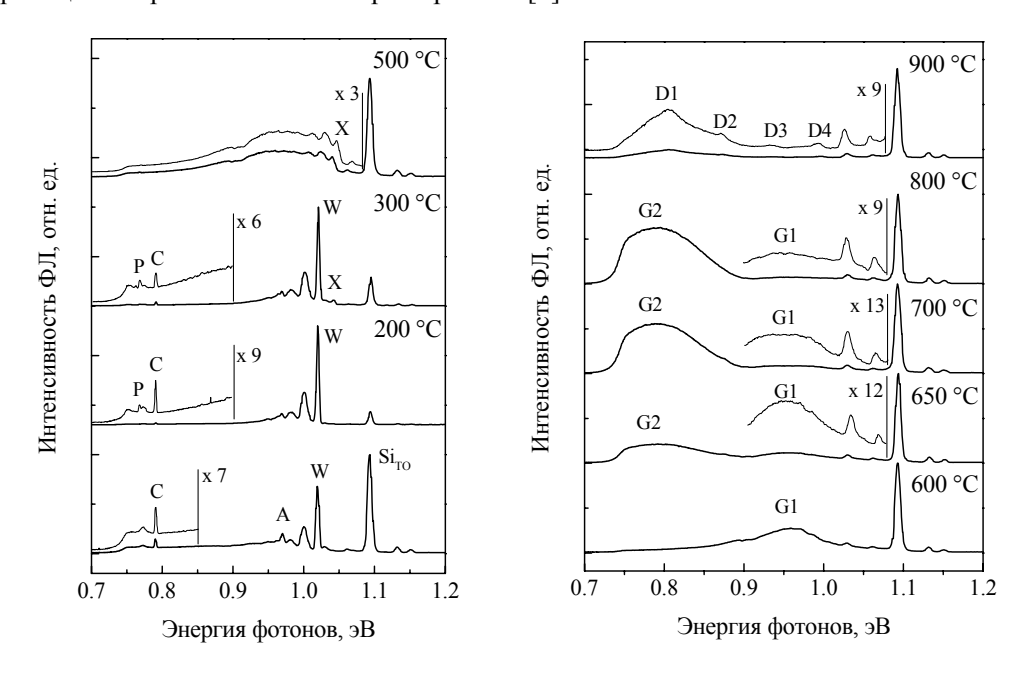


Рисунок 2. — Спектры ФЛ кремния, облученного при 25 °C ионами  ${\rm Ge}^+$  с энергией 80 кэВ и дозой ~  $10^{15}\,{\rm cm}^{-2}$  и отожженного при различных температурах

При более высоких температурах отжига  $\sim 800-900\,^{\circ}\text{C}$  в спектрах ФЛ проявляются полосы, связанные с дислокациями D1  $\sim 0.81\,^{\circ}\text{B}$ , D2  $\sim 0.87\,^{\circ}\text{B}$ , D3  $\sim 0.93\,^{\circ}\text{B}$  и D4  $\sim 1.00\,^{\circ}\text{B}$  [9]. Наиболее важным отличием имплантации ионов Ge, рисунок 2, по сравнению с внедрением ионов Si, рисунок 1, является наличие широких полос G1  $\sim 0.97\,^{\circ}\text{B}$  и G2  $\sim 0.79\,^{\circ}\text{B}$  на высокотемпературных стадиях отжига. По нашему предположению, атомы Ge образуют скопления и подавляют процесс образования дислокаций типа D1 – D4 на стадиях отжига имплантированного Si  $\sim 600-800\,^{\circ}\text{C}$ . Возможно на этих стадиях отжига происходит замещение Si в узлах кристаллической решетки атомами Ge, что приводит к увеличению локальных напряжений и изменению электронной структуры, что замедляет процесс зарождения дислокаций.

### **ЗАКЛЮЧЕНИЕ**

Установлено, что имплантация ионов кремния или германия в монокристаллический кремний и последующий термический отжиг образцов до температур  $\leq 700^{\circ}\mathrm{C}$  приводит к образованию различных по химическому составу центров излучательной рекомбинации, включающих в свой состав в большинстве случаев атомы кислорода и углерода, как остаточные технологические примеси. На высокотемпературных стадиях отжига  $\sim 600$ – $900^{\circ}\mathrm{C}$  обнаружены интенсивные полосы фотолюминесценции,

связанные с излучательной рекомбинацией на дислокациях, характерных для пластически деформированного кремния. В спектрах фотолюминесценции монокристаллов кремния, имплантированных ионами германия, обнаружены интенсивные широкие полосы, обусловленные излучательной рекомбинацией на скоплениях атомов германия. Это важно для объяснения природы инфракрасной люминесценции наноструктур Ge/Si с квантовыми точками Ge, создаваемыми с использованием ионной имплантации в процессе их роста.

Работа выполнена при финансовой поддержке Белорусского республиканского фонда фундаментальных исследований (проект Ф18Р-038), Российского фонда фундаментальных исследований (грант «Бел\_а» № 18-52-00014) и Гос. задания — 0306-2016-0015

#### БИБЛИОГРАФИЧЕСКИЕ ССЫЛКИ

- 1. Brehm, M. Site-controlled and advanced epitaxial Ge/Si quantum dots: fabrication, properties, and applications / M. Brehm, M. Grydlik // Nanotechnology. 2017. Vol. 28. P. 392001 (22 pp).
- 2. Chains of quantum dot molecules grown on Si surface pre-patterned by ion-assisted nanoimprint lithography / Zh. V. Smagina [et. al.] // Appl. Phys. Lett. 2015. Vol. 105, No 15. P.153106 (4 pp).
- 3. Линейные цепочки квантовых точек Ge/Si при росте на структурированной поверхности, сформированной ионными облучением / Ж. В. Смагина [и др.] // ФТП. 2015. Т. 49, №6. С. 767–771.
- Davies, G. The optical properties of luminescence centres in silicon / G. Davies // Physics Reports. 1989. – Vol. 176, No 3. – P.83–188.
- 5. Tkachev, V.D. Noble gas atoms as chemical impurities in silicon / V.D. Tkachev, A.V. Mudryi, N.S. Minaev // Phys. Stat. Sol. (a). 1984. Vol. 81, No 1. P. 313–321.
- 6. Мудрый, А.В. Влияние кислорода и вида облучения на спектры примесной люминесценции кремния / А.В. Мудрый, А.В. Юхневич // ФТП. 1973. Е7, №1. С. 170–172.
- 7. A luminescence study of defects and internal strains in ion-implanted silicon on sapphire films/ A.V. Mudryi [et al.]// Mater. Chem. Phys. 1996. Vol. 45. P. 185–188.
- 8. Properties of strong luminescence at 0.93 eV in solar grade silicon / C. Krause [et. al.] // Solid State Phenomena. 2014. Vol. 206 206. P. 83–88.
- Drozdov, N.A. Recombination radiation on dislocations in silicon / N.A. Drozdov, A.A. Patrin, V.D. Tkachev // JETP Lett. – 1976. – Vol. 23. – P. 597–599.

# FIRST PRINCIPLES STUDY OF POINT DEFECTS IN BULK AND MONOLAYER MOLYBDENUM DISULFIDE

J. V. Gusakova<sup>1</sup>, V. E. Gusakov<sup>2</sup>, B. K. Tav<sup>1,3</sup>

Novitas Center, Nanyang Technological University, 50 Nanyang Avenue, 639798 Singapore, Singapore, e-mail: julia001@e.ntu.edu.sg;

<sup>2)</sup> Scientific-Practical Materials Research Center of NAS of Belarus, 19 P. Brovki, 220072 Minsk, Belarus, e-mail:gusakov@ifttp.bas-net.by

<sup>3)</sup> CINTRA UMI CNRS/NTU/THALES, 50 Nanyang Drive, 637553 Singapore, Singapore, e-mail: ebktay@ntu.edu.sg

Corresponding author: V. E. Gusakov (gusakov@ifttp.bas-net.by)

The study of formation and diffusion of point defects in bulk and monolayer MoS<sub>2</sub> is presented. First the formation of a split Frenkel pair was calculated. The formation energy of the split Frenkel pair in monolayer MoS<sub>2</sub> is 5.79 eV PZ LDA (5.58 eV PBE GGA) and in bulk MoS<sub>2</sub> is 8.43 eV PZ LDA (8.14 eV PBE GGA). The calculated diffusion barrier of